文章编号: 1671-7554(2008) 10-1016-04

# HPLC 测定人尿液三苯双脒次级 代谢物对苯二甲酸浓度

徐洁1,2、袁桂艳1、魏春敏1、王本杰1、郭瑞臣1

- (1. 山东大学齐鲁医院临床药理研究所, 济南 250012;
  - 2. 淄博职业学院生物工程系, 山东 淄博 255013)

摘要:目的 建立测定人尿液三苯双脒次级代谢物对苯二甲酸(TPA)浓度的高效液相色谱法(HPLC)。方法 以 阿魏酸为内标(internal standard, IS),志愿者尿样稀释后经Ultimate XB- $C_{18}$ 柱(4.6 mm× 200 mm, 5  $\mu$ m)、流动相甲醇—1% 醋酸(35:65,  $\forall$  V)分离,在检测波长为 240 nm、流速为0.8 mI/min、柱温为 30  $\mathbb C$  条件下采用 HPLC 分析。结果在 1~400  $\mu$ g mL 内, TPA 与 IS 的峰面积比值与浓度线性关系良好(r=0.9954),定量下限为  $1\mu$ g/mL,低、中、高浓度的相对回收率分别为( $106.0\pm4.4$ )%、( $107.4\pm4.2$ )%和( $108.5\pm2.4$ )%,批内和批间相对标准偏差(RSD)小于8%。结论 方法符合生物样品分析要求,可用于三苯双脒次级代谢物 TPA 尿液浓度的测定。

关键词: 三苯双脒; 对苯二甲酸; 高效液相色谱法; 尿

中图分类号: R917: R969 文献标志码: A

# Determination of urinary tribendimidine metaboliteterephthalic acid by HPLC

XU Jie<sup>1,2</sup>, YUAN Gui yan<sup>1</sup>, WEI Chun-min<sup>1</sup>, WANG Ben-jie<sup>1</sup>, GUO Rui-chen<sup>1</sup> (1. Institute of Clinical Pharmacology, Qilu Hospital of Shandong University, Jinan 250012, China;

2. Department of Bioengineering, Zibo Vocational Institute, Zibo 255013, Shandong, China)

Abstract: Objective To develop a HPLC method for determination of tribendimidine metabolite terephthalic acid (TPA) concentration in human urine. Methods Diluted urine was separated on the Ultimate XB-C<sub>18</sub> column (4.6 mm× 200 mm, 5  $\mu$ m), eluted with methanol and 1% glacial acetic acid (35-65, V/V) at 0.8 mL/min and 30 °C, and detected at 240 nm with ferulic acid as an internal standard (IS). Results A good linearity was obtained from 1 to 400  $\mu$ g mL (r= 0.9954). The lower limit of quantitation (ILOQ) was 1 $\mu$ g/mL. The relative recoveries were (106.0  $\pm$ 4.4)%, (107.4  $\pm$ 4.2)% and (108.5  $\pm$ 2.4)% at 3, 25 and 200 $\mu$ g/mL, and the intra- and inter-batch relative standard deviations (RSD) were less than 8% for all quality control samples. Conclusion The developed HPLC method is proved to meet the requirements of biological sample analyses, and is appropriate for determination of urinary tribenmidine metabolite-TPA in human urine.

Key words: Triben dimidine; Terephthalic acid; High performance liquid chromatography; Urine

三苯双脒(tribendimidine) 是新型广谱驱肠虫药<sup>[13]</sup>, 化学名为 N,N-X[4-(1-二甲氨基乙亚氨基) 苯基]-1,4苯二甲亚胺, po 后于体内迅速分解为对(1-二甲氨基乙亚氨基) 苯胺(p-(1-dimethylamino ethylimino) aniline, dADT) 和对苯二甲醛(1,4-phthalade-

hyde),对苯二甲醛经过体内酶氧化,迅速转化为对苯二甲酸(terephthalic acid,TPA)自尿中排泄;血中无对苯二甲醛检出。国内外文献多报道三苯双脒临床应用或药效学,鲜有其人体内处置过程<sup>[4]</sup>。文献报道<sup>[5-6]</sup>人尿液对苯二甲酸测定中,尿样需经高氯酸沉

收稿日期: 2008-03-04

作者简介: 徐洁(1974-), 女, 硕士研究生, 主要从事药动力学研究。

定蛋白, 乙酸乙酯提取, 流动相中加入离子对试剂进行分离, 操作较复杂。本研究建立了一个方便可行、定量准确的人尿液 TPA 浓度的 HPLC 测定方法, 适合人体三苯双脒次级代谢物对苯二甲酸排泄动力学研究。

## 1 材料与方法

#### 1.1 材料

- 1. 1. 1 药品与试剂 TPA 对照品(批号WF20070717, 含量  $\geqslant$ 99%) 购自国药集团化学试剂有限公司; 内标阿魏酸(ferulic acid, 批号 0773-9910, 供含量测定用) 购自中国药品生物制品检定所; 三苯双脒肠溶片(200 mg/片, 批号 0505226), 由山东新华制药股份有限公司提供; 甲醇购自美国 Baker 公司(色谱纯, 含量  $\geqslant$ 99. 7%); 氢氧化钠购自山东化工研究院(分析纯, 含量  $\geqslant$ 96. 0%); 水为市售娃哈哈纯净水。
- 1.1.2 仪器 美国 Waters Allience 高效液相色谱仪,配有 Waters 2695 Separation Module, Waters 2996 二极管阵列检测器, Empower Build 1154 色谱工作站; SORVALL Biofuge Primo 离心机,购自美国科峻仪器公司; XW-80A 型旋涡混合器,购自上海精科实业有限公司。

#### 1.2 方法

1.2.1 色谱条件 色谱柱 Ultimate XB-CB 柱 (4.6 mm × 200 mm, 5 l/m); 流动相甲醇— 1% 醋酸(35:65, V/V); 检测波长 240 nm; 流速 0.8 mL/min; 柱温30 ℃。1.2.2 TPA 系列对照品溶液 取 TPA 对照品约 0.1 g, 精密称定, 加 1% 氢氧化钠溶液溶解并稀释制成浓度为 2 mg/mL 的对照品储备液, 4 ℃冰箱保存备用。以水稀释配成 1000、500、100、20 和 10 l/g/mL 的

TPA 系列对照品溶液。

- 1.2. 3 IS 溶液 取阿魏酸约 0. 25 g, 精密称定, 加甲醇溶解并稀释制成浓度为 0.5 mg/ mL 的 IS 溶液, 4 ℃冰箱保存备用。
- 1.2.4 尿样处理 取人尿液适量,5000 √ min 离心 5 min, 0.45 μm 针筒过滤器过滤,取滤液 60 μL, 加入 IS 溶液 70 μL 和水 770 μL, 涡旋 1 min, 取 20 μL 进样。 以内标法计算尿液中 TPA 浓度。
- 1. 2. 5 受试者选择及尿样采集 选择符合入选标准的 16 名男性健康志愿者, 试验前签署知情同意书。志愿者随机分为 3 组, 试验前禁食一夜, 于次日早晨 7 点分别空腹口服  $200 \, \mathrm{mg}(5 \, \mathrm{L})$ ,  $400 \, \mathrm{mg}(6 \, \mathrm{L})$  和  $600 \, \mathrm{mg}(5 \, \mathrm{L})$  三苯双脒肠溶片,  $200 \, \mathrm{mL}$  温开水送服, 服药  $1 \, \mathrm{h}$  后定时定量( $100 \, \mathrm{mL/h}$ ) 饮水,  $2 \, \mathrm{h}$  后进统一低蛋白、低脂肪早餐。早、中、晚餐统一进食。收集服药前和服药后  $0 \sim 2$ ,  $2 \sim 4$ ,  $4 \sim 6$ ,  $6 \sim 8$ ,  $8 \sim 10$ ,  $10 \sim 12$ ,  $12 \sim 24 \, \mathrm{h}$  的尿液, 记录尿液体积, 取  $10 \, \mathrm{mL}$  离心后  $-20 \, \mathrm{C}$ 保存, 备测。
- 1.3 统计学处理 分析方法精密度和准确度试验数据经 Excel 2003 软件计算得到。志愿者不同时间段的尿药浓度及尿液体积经 DAS2. 0 实用药代动力学程序(残余尿药量法)计算三苯双脒次级代谢物TPA 经尿排泄速率常数(elimination rate constant,  $k_e$ )和半衰期(half life time,  $t_{1/2}$ )。

### 2 结 果

2.1 专属性 取尿液, 按"1.2.4"项下操作。TPA和 IS 保留时间分别为9.8 min和12.0 min, 尿中内源性物质不干扰 TPA测定。对照品溶液、空白尿样、空白尿样加对照品和 IS 及志愿者给药后尿样加 IS色谱图见图 1。

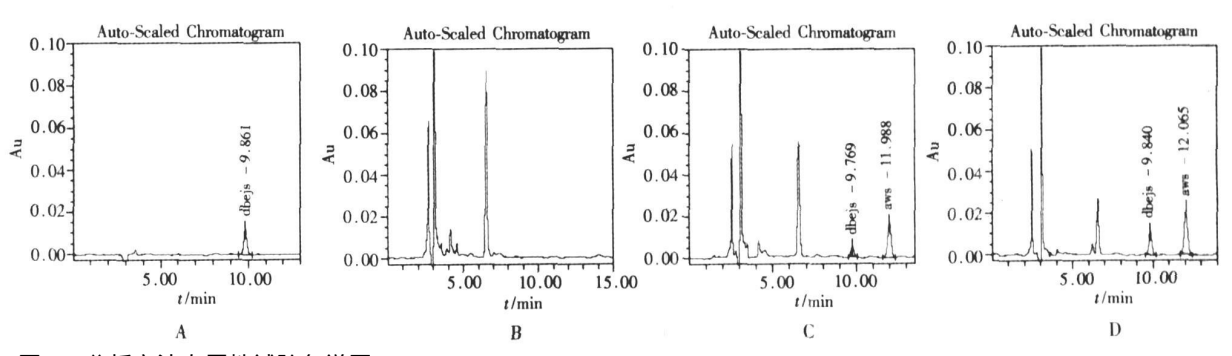


图 1 分析方法专属性试验色谱图

A: 1 llg/mL TPA; B: 空白尿样; C: 空白尿样加 TPA 和 IS; D: 志愿者单次 po 三苯双脒 200 mg 0~ 2 h 尿样加 IS

Fig. 1 Analytical method specificity test chromatograms

A: 1 µg/ mL TPA solution; B: Blank urine; C: Blank urine spiked with TPA and IS;

D: 0-2 h volunteer urine after a single dose of 200 mg tribend imidine spiked with IS

© 1994-2012 China Academic Journal Electronic Publishing House. All rights reserved. http://www.cnki.net

2. 2 标准曲线 取空白尿液, 分别加入 TPA 系列对照品溶液适量, 配制浓度为 1、2、10、25、100、250、400  $\mu$ g/mL 的 TPA 尿样系列。按" 1. 2. 4" 项下操作,每个浓度测定 5 次。以尿样中 TPA 浓度( X,  $\mu$ g/ mL) 为横坐标, TPA 与 IS 峰面积比值 Y 为纵坐标, 采用加权(  $1/c^2$  ) 最小二乘法[7] 进行线性回归运算,得回归方程 Y = 2.  $68e^{-002}$  X<sup>-1.47</sup>  $e^{-008}$ , r = 0. 995 4,  $r^2$  = 0. 990 9。在 1~ 400  $\mu$ g/ mL 内, TPA 与 IS 的峰面积比值与浓度线性关系良好, 定量下限为  $1\mu$ g/mL。

2.3 精密度和准确度 分别用空白尿液配制浓度

为 3、25 和 200  $\frac{1}{9}$  mL 的低、中、高 3 个浓度的质控样品,按" 1 . 2 . 4" 项下操作,每个浓度 5 样本于 1 d 内测定,或每日测定 1 次,连续 3 d (每日为一批)。 质控样品与标准曲线同时进行,以当日标准曲线计算质控样品浓度,计算批内、批间相对标准偏差(relative standard deviation,RSD),评价方法精密度。 根据测定浓度计算相对回收率,评价方法准确度。 精密度结果见表 1。 低、中、高 3 个浓度相对回收率分别为  $(106.0\pm4.4)\%$ , $(107.4\pm4.2)\%$  和  $(108.5\pm2.4)\%$ ; RSD 分别为 4.1%、3.9% 和 2.2%。

表 1 低、中、高 3 个浓度的精密度(n=5)

		3		25		200	
			RSD(%)		RSD(%)	 精密度( p/μg• mL <sup>- 1</sup> )	RSD(%)
批内	第一批	2. 90 ±0. 16	5. 37	25.47±1.03	4. 04	196.77±7.05	3. 58
	第二批	$3.07\pm0.15$	5. 05	$25.36 \pm 1.56$	6. 15	211.18±4.28	2. 03
	第三批	$2.87 \pm 0.20$	7. 13	$23.80 \pm 1.08$	4. 56	$203.22 \pm 4.65$	2. 29
批间		$2.95\pm0.18$	6. 24	$24.88 \pm 1.40$	5. 62	$203.72\pm7.93$	3. 89

2. 4 志愿者尿中 TPA 累积排泄量及排泄动力学参数 16 名志愿者分别口服 200 mg(5 人)、400 mg(6 人)和 600 mg(5 人)三苯双脒肠溶片,三苯双脒次级代谢物 TPA 的 ke 分别为(0. 24 ±0. 06)/h、(0. 19 ± 0. 16)/h和(0. 21 ±0. 11)/h, $t_{12}$  分别为(3. 0 ±0. 7)h、(2. 4 ±0. 8)h和(3. 4 ± 1. 4)h,尿中 24 h累积排泄率分别为(37 ±9)%、(29 ± 12)%和(38 ± 14)%,尿液累积排泄量—时间曲线见图 2。

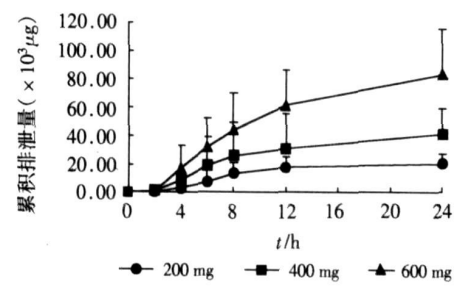


图2 三苯双脒次级代谢物 TPA 尿液累积排泄量 – 时间曲线

Fig. 2 Cumulative urine excretion amount-time curves of tribenmidine sub-metabolite-TPA

# 3 讨论

本研究建立了阿魏酸为 IS 的人尿液 TPA 浓度 HPLC 测定法, 该法简便、快速、灵敏、准确, 符合生物样品分析要求, 适合人体三苯双脒次级代谢物 TPA 排泄动力学研究。

本研究尿样无须沉淀蛋白, 经离心、过滤和稀释后直接进样, 预处理方法简单, 回收率高, 干扰少, 重复性好。分离机制采用离子抑制色谱, 流动相为用

醇- 1%醋酸(35 65, WV), 无需特殊离子对试剂, 杂质峰与TPA 分离效果良好。本研究用内标法定量, 较文献报道<sup>[56]</sup> 的外标法误差小。IS 曾试用阿司匹林、苯甲酸、水杨酸和甘草次酸, 分离效果或分析时间不理想。以阿魏酸为 IS, 尿液中杂质峰与 TPA 和IS 分离良好, 且保留时间适中, 有利于提高测定效率。

三苯双脒口服后于体内迅速分解为 dADT 和对苯二甲醛,对苯二甲醛经体内酶迅速氧化成 TPA 自尿中排泄,血中无对苯二甲醛检出。作为国家一类新药,三苯双脒体内处置过程尚未完全清楚,其参与酶类、肠道菌群或反应类型有待进一步研究。 文献报道<sup>[8]</sup> TPA 经肾排泄存在分泌和重吸收机制,可能导致 TPA 尿累积排泄率有较大个体差异,但尚需进一步研究证实。

#### 参考文献:

- [1] Xiao Shu-hua, Wu Hui-ming, Marcel T, et al. Tribendimidine: a promising, safe and broad-spectrum anthelmintic agent from China [J]. Acta Tropica, 2005, 94(3): 1-14.
- [2] 曹汉钧, 孙凤华, 钱益新, 等. 新药三苯双脒治疗钩虫感染临床观察[J]. 中国寄生虫病防治杂志, 2000, 13 (3): 184 186.
- [3] 吴中兴, 方悦怡, 刘宜升. 新药三苯双脒肠溶片治疗肠 道线虫感染的效果观察[J]. 中国寄生虫学与寄生虫病 杂志, 2006, 24(1): 23-26.
- [4] Yuan Gui-yan, Wang Ben-jie, Wei Chun-min, et al. LG-MS determination of p-(1+Dimethylamino ethylimino) aniline: A

metabolite of tribend in idine in human plasma[J]. Chromatog, ishing House. All rights reserved. http://www.cnki.net

- 2008, 68(7):139-142.
- [5] 姚宏伟, 邱清, 吴仲华, 等. 紫外分光光度法测定尿中 对苯二甲酸[J]. 中华劳动卫生职业病杂志, 1995, 13 (6):367-368.
- [6] 戴建国, 王沐沂, 龚楠, 等. 高效液相色谱法测定作业工人尿中对苯二甲酸含量[J]. 中国公共卫生, 1999, 15 (9):844-845.
- [7] 钟大放. 以加权最小二乘法建立生物分析标准曲线的若干问题[J]. 药物分析杂志, 1996, 16(5): 343-346.
- [8] Tremaine L M, Quebbemann A J. The renal handling of terephthalic acid[J]. Toxicol Appl Pharmacol, 1985, 77(1): 165-174.

(编辑:张彩凤)

(上接第1006页) 门脉高压。出生后很快出现门脉高压和胃肠道出血,死亡率极高。

肝静脉畸形易伴多发畸形,以消化道、心脏、颅脑和四肢畸形多见,并羊水过多,另外持续性右脐静脉比率较高。虽持续性右脐静脉为一解剖变异,但不除外为一畸形信号,有待更多病例进一步探讨。

本组 12 例先天性门静脉血管畸形, 均经彩色多普勒首先诊断。二维超声技术能清晰、连续地显示整个门脉系统, 彩色多普勒可确定门静脉血管畸形的大体类型、发生部位, 还可提供血流动力学改变的信息。脉冲多普勒可获取门脉血流频谱, 测定正常门脉或门脉高压时的血流动力学参数。胎儿血管检查需要无创伤性、无致畸影响并可重复性强的检查, 彩色多普勒超声符合此多项要求, 能够在胎儿出生前做出正确诊断, 对优生优育有着重要的临床使用价值。

#### 参考文献:

- [1] 夏建国, 董胜翔, 李凤华, 等. 先天性门静脉畸形的彩色 多普勒超声诊断[J]. 世界华人消化杂志, 2004, 12(6): 1376-1379.
- [2] Sciaky-Tamir Y, Cohen S M, Hochner-Celnikier D, et al. Three-dimensional power Doppler(3DPD) ultrasound in the Diagnosis and follow-up of fetal vascular anomalies [J]. Obstet Gynecol, 2006, 194(1): 274-281.

- [3] Stringer M D. The clinical anatomy of congenital portosystemic venous shunts[J]. Clin Anat, 2008, 21(2):147-157.
- [4] 李玉华, 王向东. 彩超诊断肝门静脉 动脉瘘一例[J]. 中国医学影像技术, 1998, 14(12): 949.
- [5] Yang P Y, Wu J L, Yeh G P, et al. Prenatal diagnosis of persistent right umbilical vein using three-dimensional sonography with power Doppler [J]. Taiwan J Obstet Gynecol, 2007, 46 (1):43-46.
- [6] Watanabe A. Portal-systemic encephalopathy in non-cirrhotic patients: classification of clinical types, diagnosis and treatment (Review) [J]. Gastroenterol Hepatol, 2000, 15(9): 969-979.
- [7] 陈国庭. 先天性肝外门腔分流 Abernethy 畸形[J]. 国外医学外科学分册, 2002, 29(2): 86-87.
- [8] Keiji T, Kunio N, Yoshiro T. A case of congenital absence of the portal vein [J]. Hepatol Res, 2005, 31(1):43.
- [9] 胡昌益. 门静脉左右支反位 1 例[J]. 中国超声医学杂志, 1998, 14(10): 22.
- [10] Duncan N D, Trotman H, Seepersaud M, et al. Obstruction of the duodenum by a preduodenal portal vein in situs inversus [J]. West Indian Med J, 2007, 56(3):1285-1287.
- [11] 张翔, 于长鹿, 经翔. 先天性肝内动脉瘤样门静脉 肝静脉瘘一例[J]. 临床放射学杂志, 2008, 27(1): 26-27.
- [12] 陈红武, 姚英民, 陈勇. 儿童肝 门静脉分支瘘血管造影诊断及其临床意义[J]. 中国实用儿科杂志, 2003, 18 (9): 553-554.

(编辑:刘霞)